

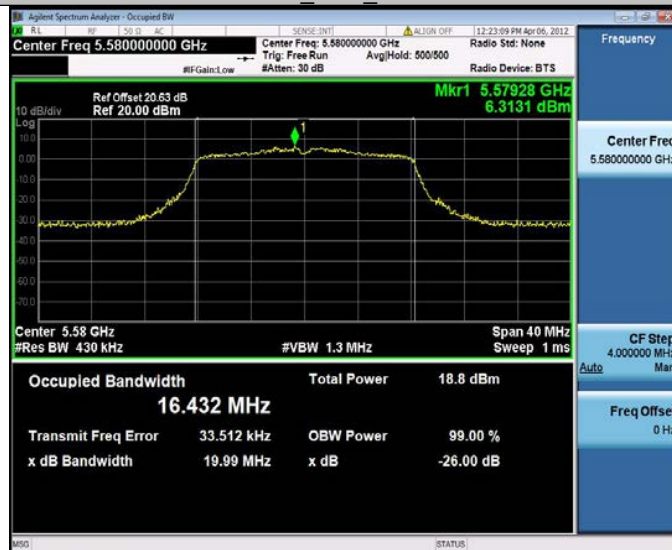
11A_Ant3_5500



11A_Ant4_5500



11A_Ant3_5580



11A_Ant4_5580



11A_Ant3_5700



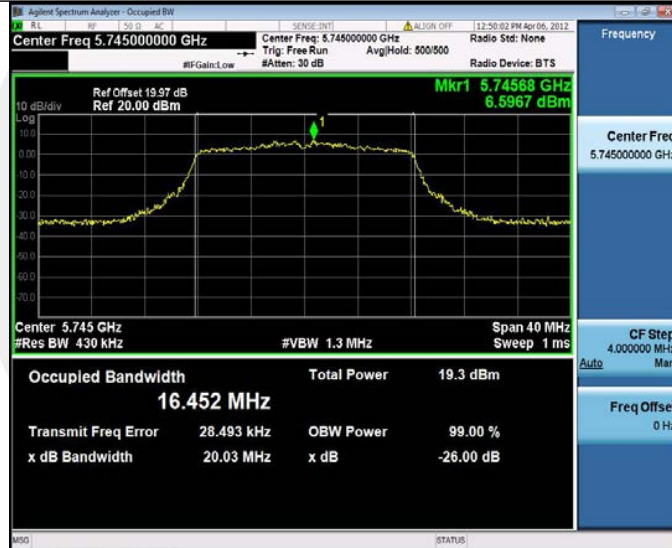
11A_Ant4_5700



11A_Ant3_5745



11A_Ant4_5745



11A_Ant3_5785



11A_Ant4_5785



11A_Ant3_5825



11A_Ant4_5825



11N20MIMO_Ant3_5180



11N20MIMO_Ant4_5180



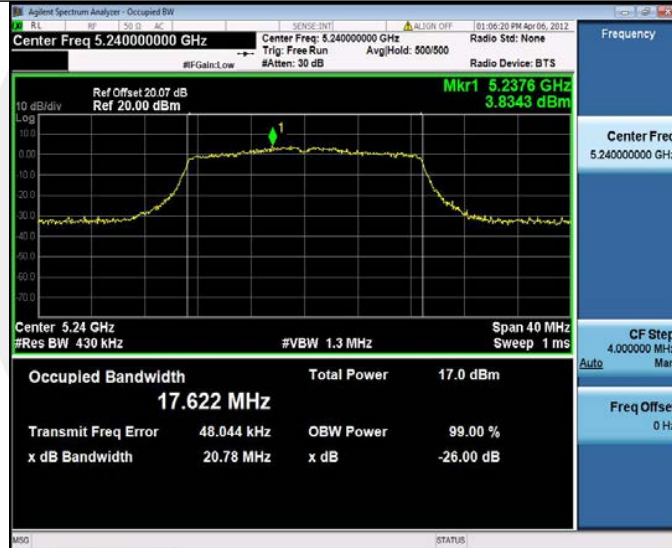
11N20MIMO_Ant3_5200



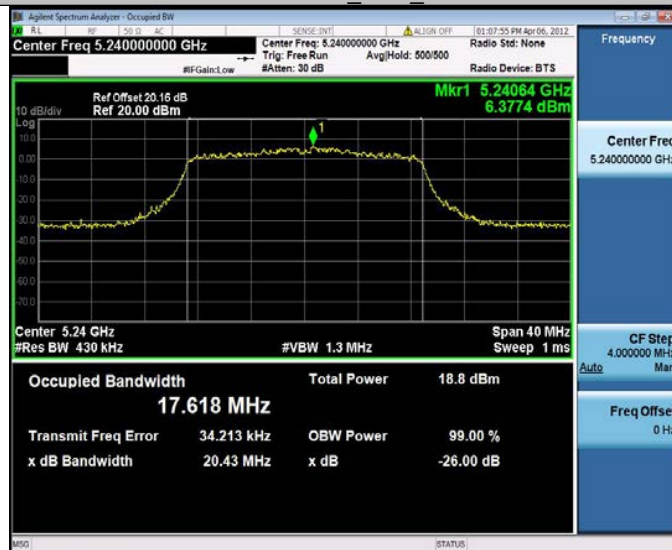
11N20MIMO_Ant4_5200



11N20MIMO_Ant3_5240



11N20MIMO_Ant4_5240



11N20MIMO_Ant3_5260



11N20MIMO_Ant4_5260



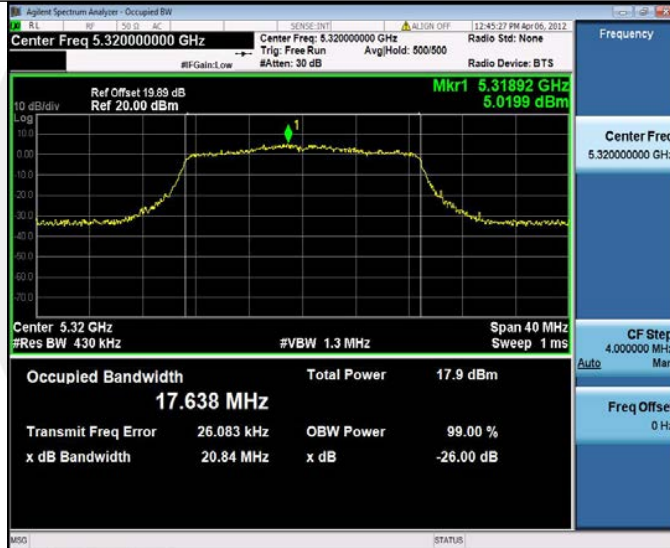
11N20MIMO_Ant3_5280



11N20MIMO_Ant4_5280



11N20MIMO_Ant3_5320



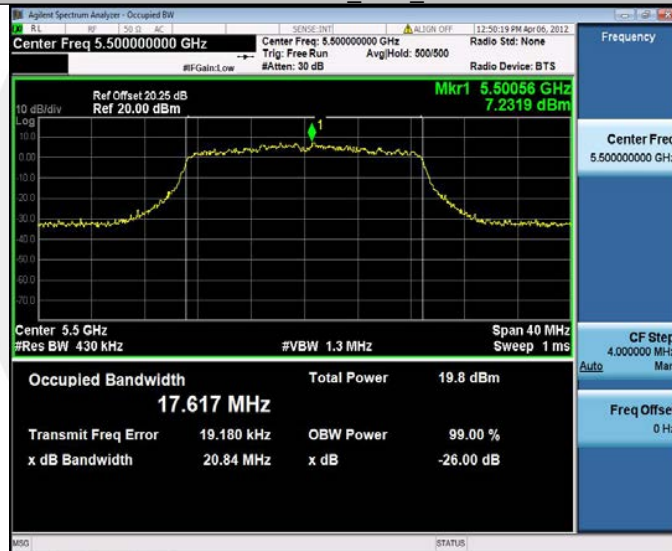
11N20MIMO_Ant4_5320



11N20MIMO_Ant3_5500



11N20MIMO_Ant4_5500



11N20MIMO_Ant3_5580



11N20MIMO_Ant4_5580



11N20MIMO_Ant3_5700



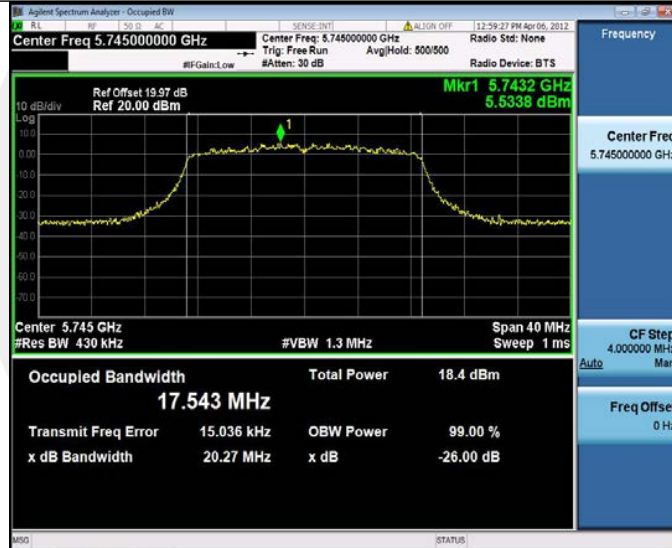
11N20MIMO_Ant4_5700



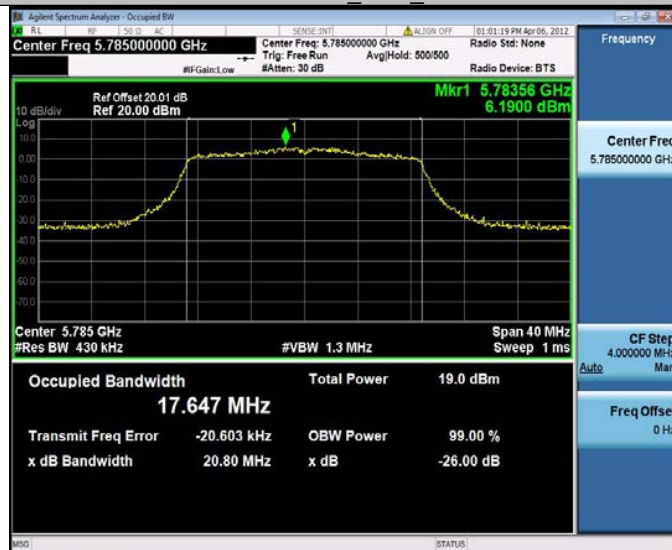
11N20MIMO_Ant3_5745



11N20MIMO_Ant4_5745



11N20MIMO_Ant3_5785



11N20MIMO_Ant4_5785



11N20MIMO_Ant3_5825



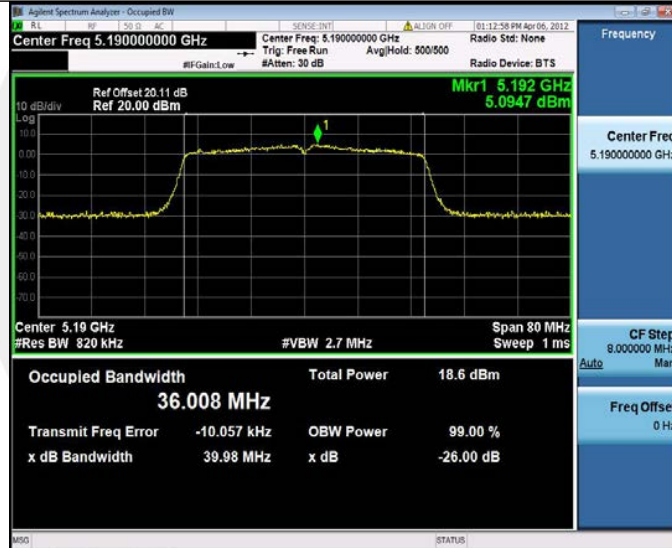
11N20MIMO_Ant4_5825



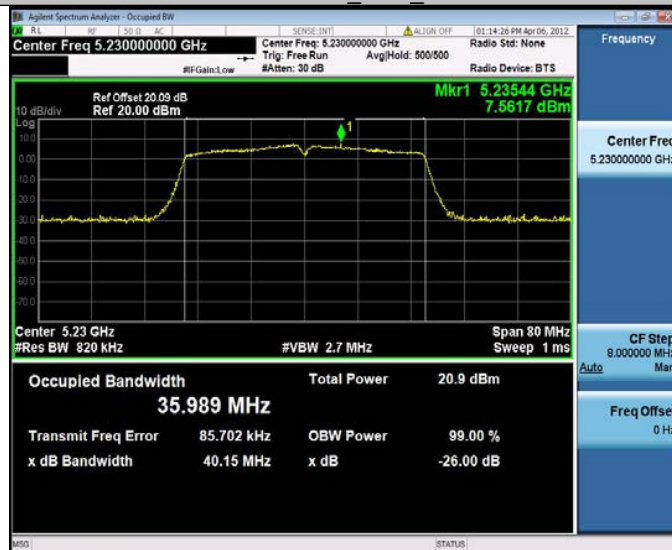
11N40MIMO_Ant3_5190



11N40MIMO_Ant4_5190



11N40MIMO_Ant3_5230



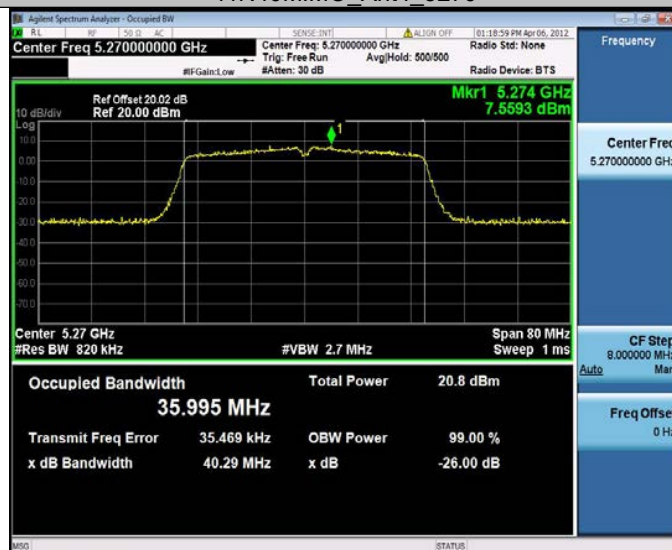
11N40MIMO_Ant4_5230



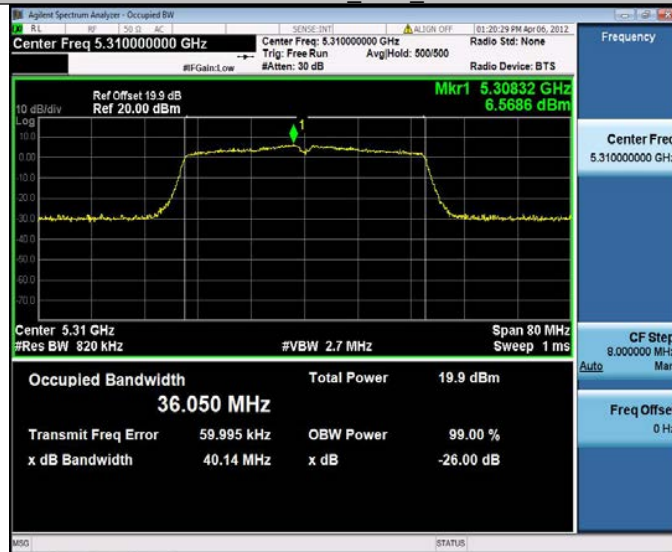
11N40MIMO_Ant3_5270



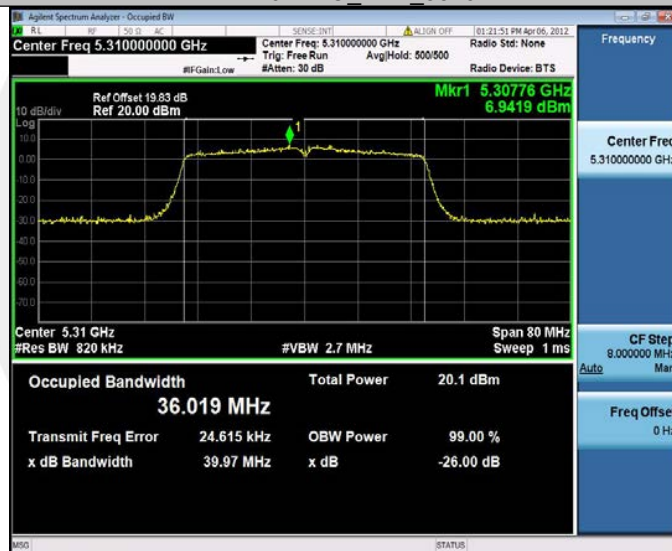
11N40MIMO_Ant4_5270



11N40MIMO_Ant3_5310



11N40MIMO_Ant4_5310



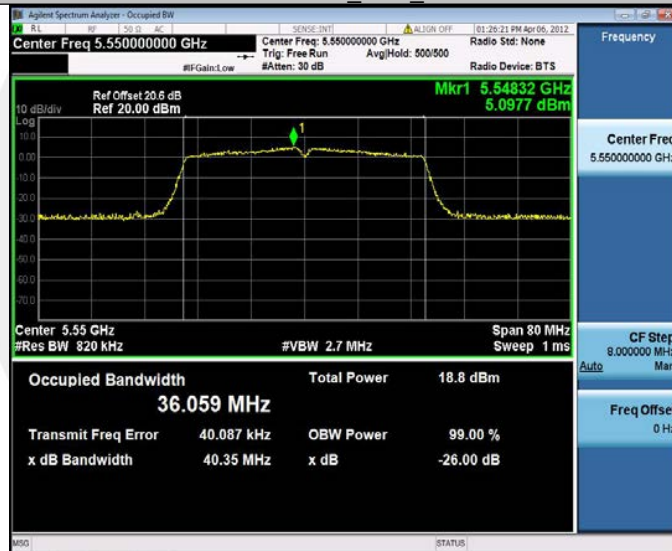
11N40MIMO_Ant3_5510



11N40MIMO_Ant4_5510



11N40MIMO_Ant3_5550



11N40MIMO_Ant4_5550



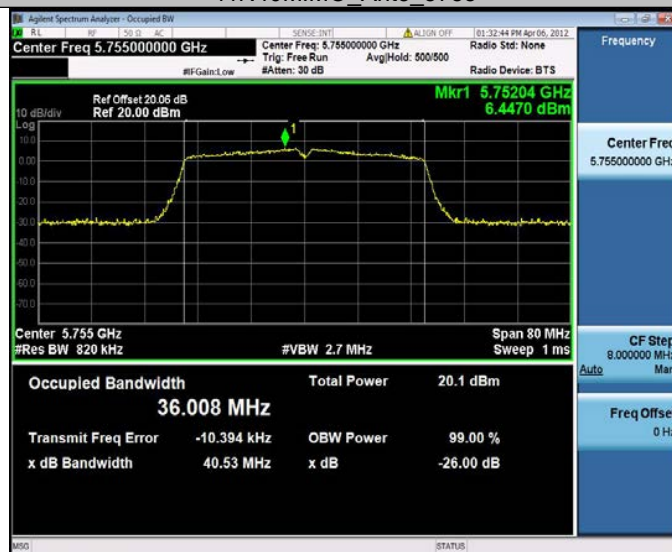
11N40MIMO_Ant3_5670



11N40MIMO_Ant4_5670



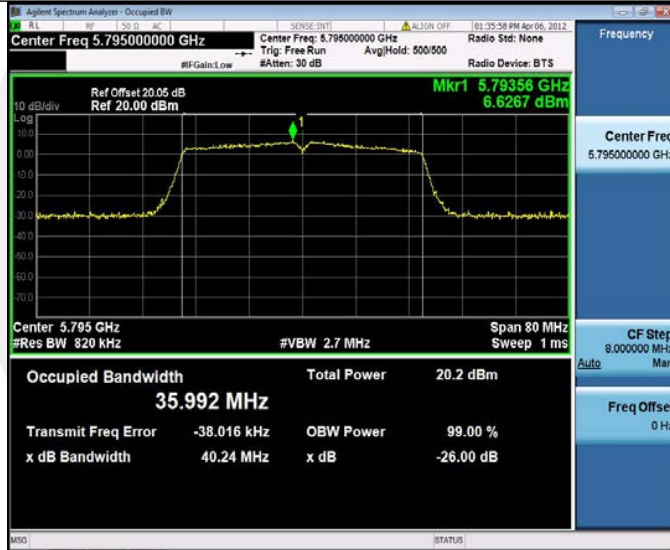
11N40MIMO_Ant3_5755



11N40MIMO_Ant4_5755



11N40MIMO_Ant3_5795



11N40MIMO_Ant4_5795



11AC20MIMO_Ant3_5180



11AC20MIMO_Ant4_5180



11AC20MIMO_Ant3_5200



11AC20MIMO_Ant4_5200



11AC20MIMO_Ant3_5240



11AC20MIMO_Ant4_5240



11AC20MIMO_Ant3_5260



11AC20MIMO_Ant4_5260



11AC20MIMO_Ant3_5280



11AC20MIMO_Ant4_5280



11AC20MIMO_Ant3_5320



11AC20MIMO_Ant4_5320



11AC20MIMO_Ant3_5500



11AC20MIMO_Ant4_5500



11AC20MIMO_Ant3_5580



11AC20MIMO_Ant4_5580



11AC20MIMO_Ant3_5700



11AC20MIMO_Ant4_5700



11AC20MIMO_Ant3_5745



11AC20MIMO_Ant4_5745



11AC20MIMO_Ant3_5785



11AC20MIMO_Ant4_5785



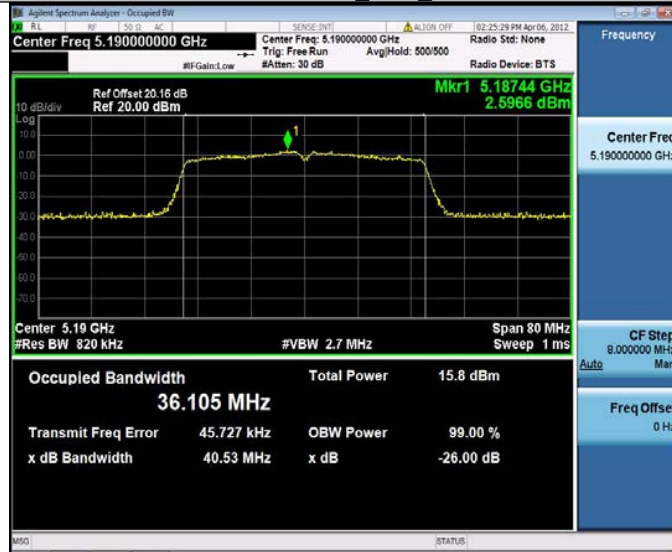
11AC20MIMO_Ant3_5825



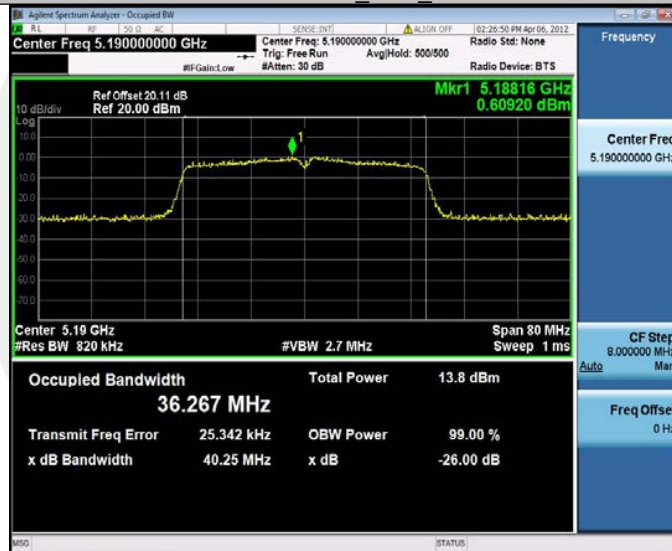
11AC20MIMO_Ant4_5825



11AC40MIMO_Ant3_5190



11AC40MIMO_Ant4_5190



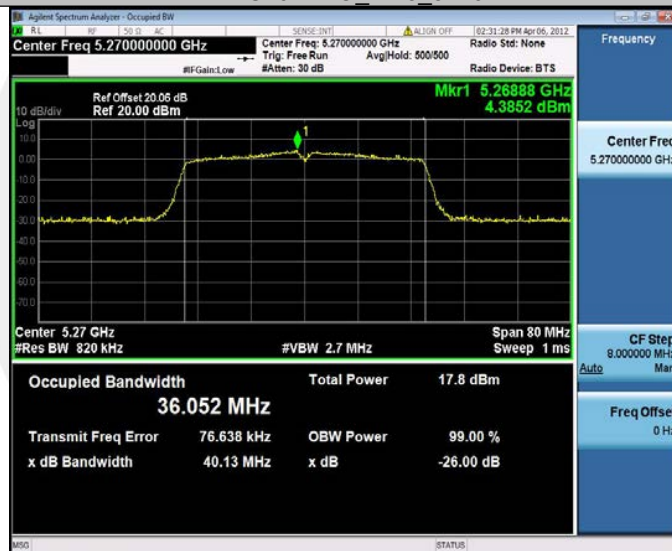
11AC40MIMO_Ant3_5230



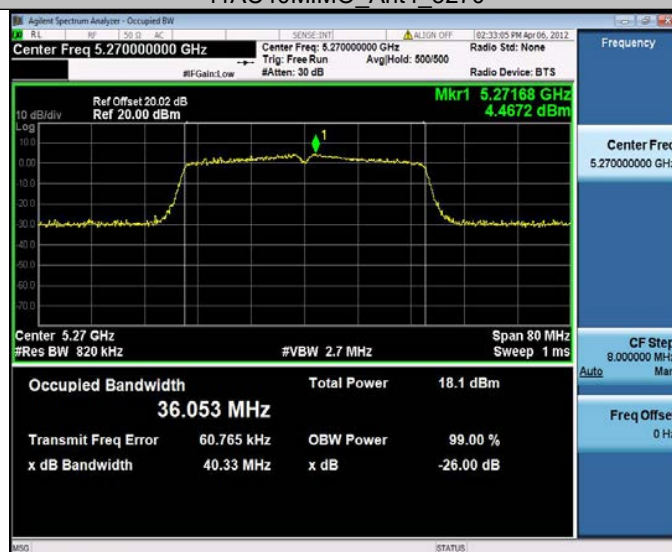
11AC40MIMO_Ant4_5230



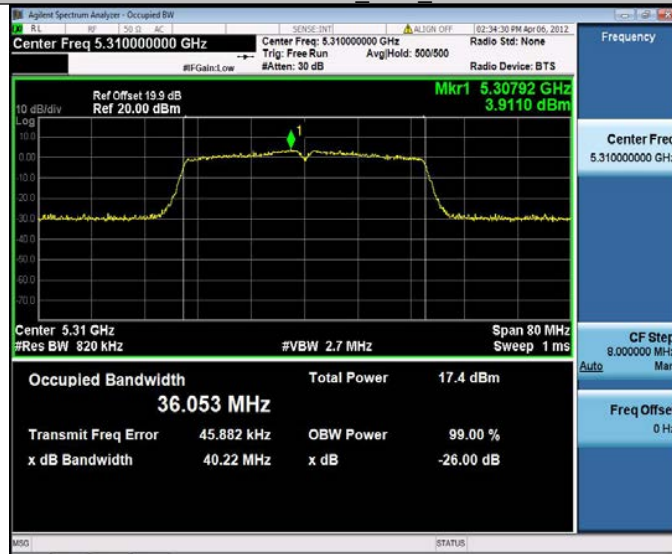
11AC40MIMO_Ant3_5270



11AC40MIMO_Ant4_5270



11AC40MIMO_Ant3_5310



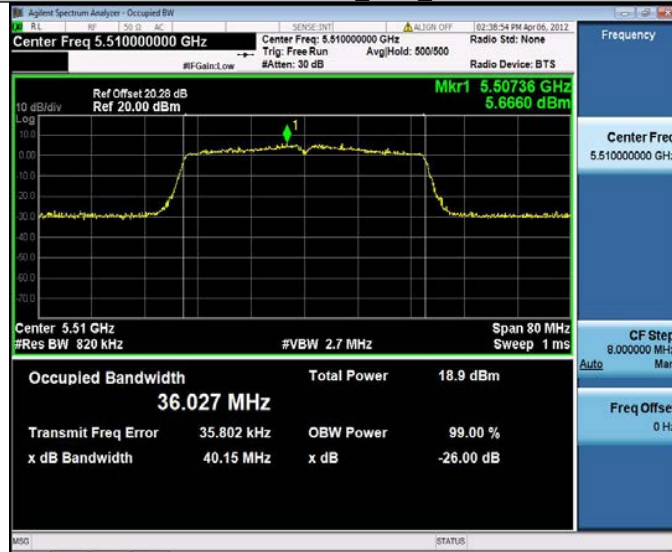
11AC40MIMO_Ant4_5310



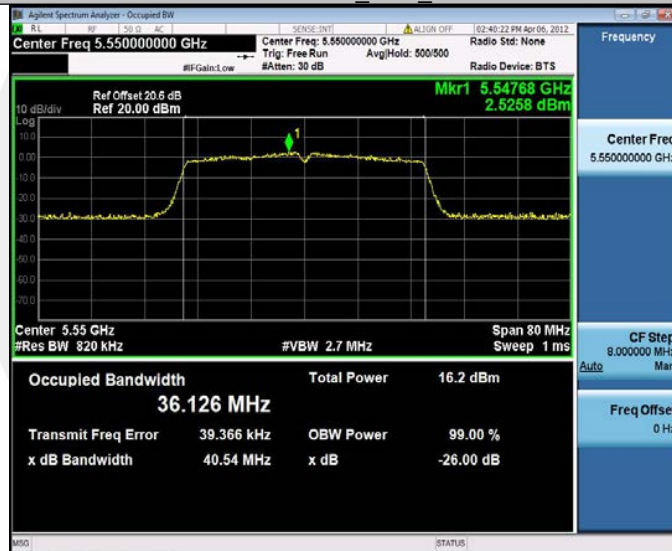
11AC40MIMO_Ant3_5510



11AC40MIMO_Ant4_5510



11AC40MIMO_Ant3_5550



11AC40MIMO_Ant4_5550



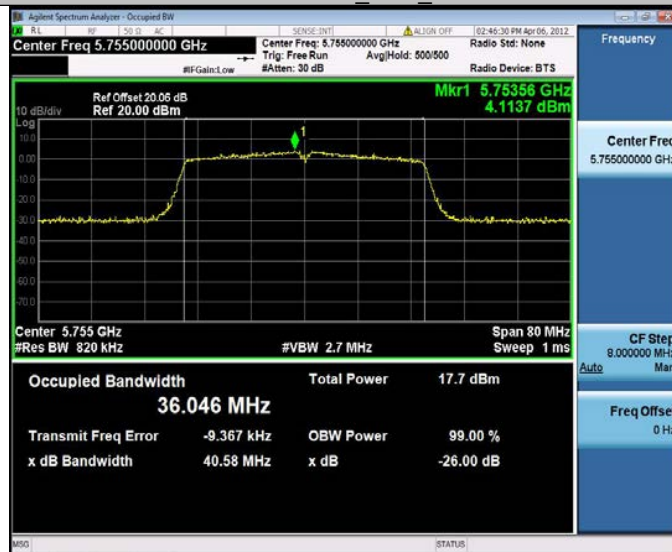
11AC40MIMO_Ant3_5670



11AC40MIMO_Ant4_5670



11AC40MIMO_Ant3_5755



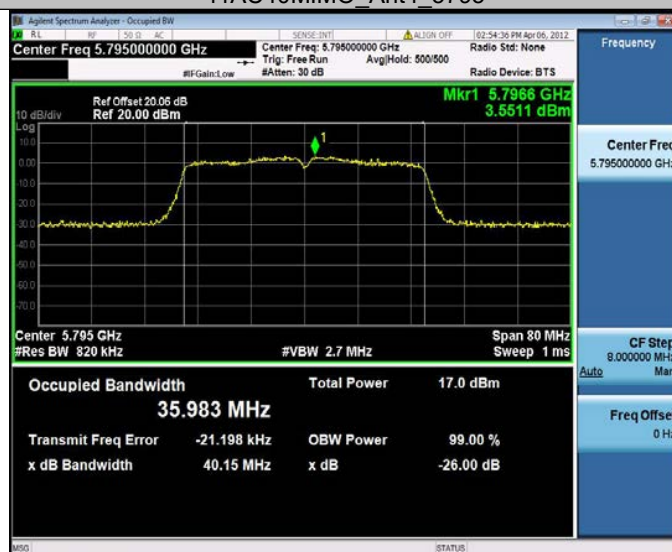
11AC40MIMO_Ant4_5755



11AC40MIMO_Ant3_5795



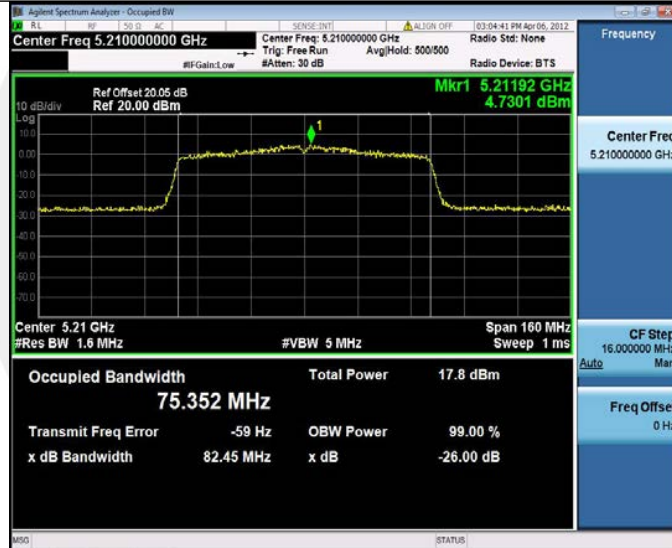
11AC40MIMO_Ant4_5795



11AC80MIMO_Ant3_5210



11AC80MIMO_Ant4_5210



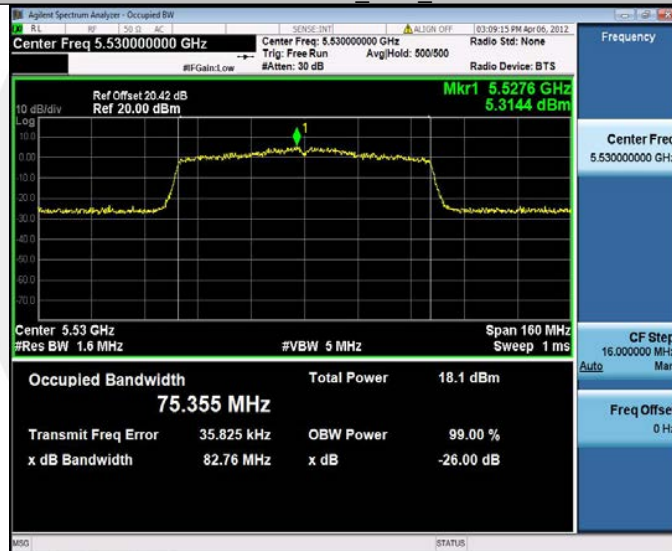
11AC80MIMO_Ant3_5290



11AC80MIMO_Ant4_5290



11AC80MIMO_Ant3_5530



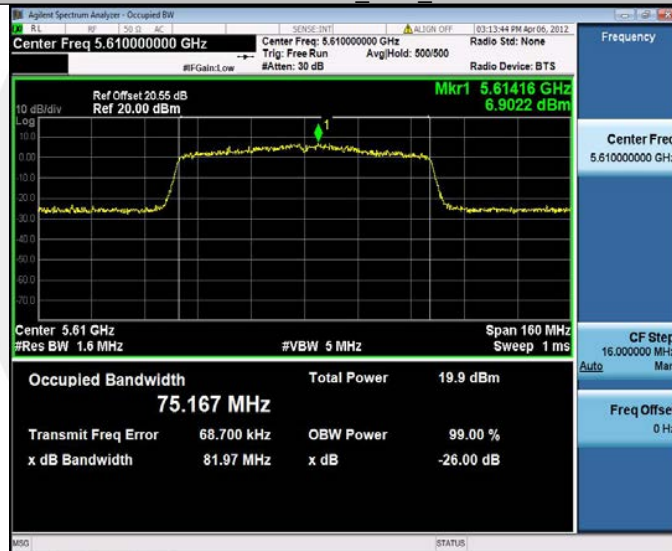
11AC80MIMO_Ant4_5530



11AC80MIMO_Ant3_5610



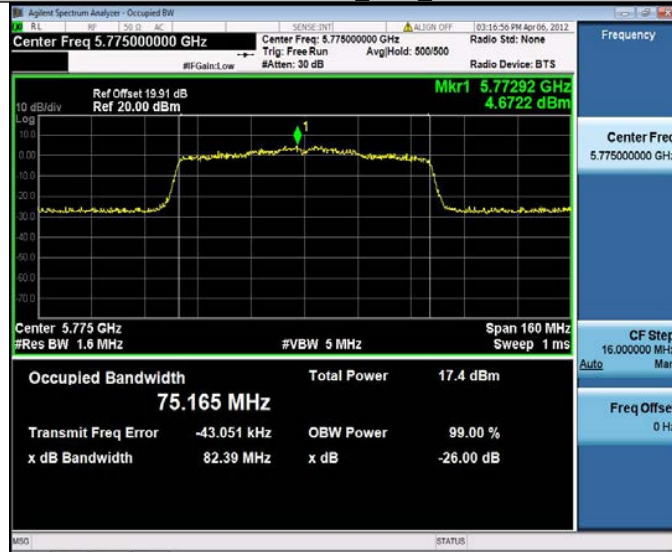
11AC80MIMO_Ant4_5610



11AC80MIMO_Ant3_5775



11AC80MIMO_Ant4_5775



11AC160MIMO_Ant3_5250



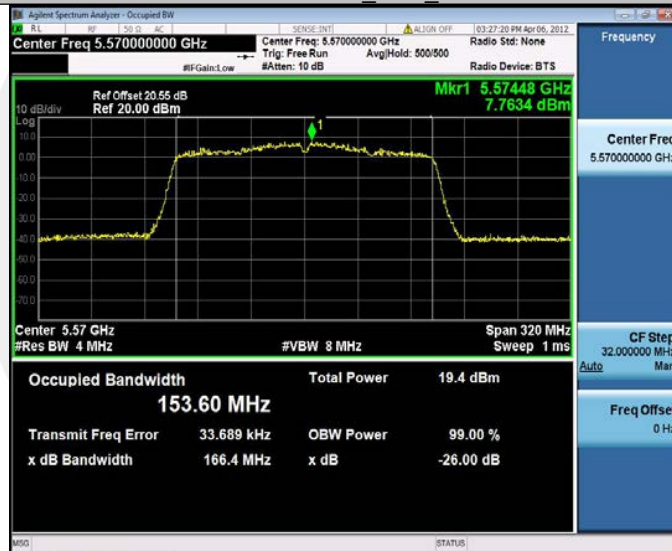
11AC160MIMO_Ant4_5250



11AC160MIMO_Ant3_5570



11AC160MIMO_Ant4_5570



11AX20MIMO_Ant3_5180



11AX20MIMO_Ant4_5180



11AX20MIMO_Ant3_5200



11AX20MIMO_Ant4_5200



11AX20MIMO_Ant3_5240



11AX20MIMO_Ant4_5240



11AX20MIMO_Ant3_5260

